

Um Algoritmo Estruturado Identificador dos Mergulhos Orientados do Grafo K_n

Dr. João de Deus Lima **Wilken Charles D. Melo***

Universidade do Estado do Rio Grande do Norte - Departamento de Informática
59.610-210, Campus Central, Mossoró, RN
E-mail: jddeus@uol.com, wilkencharles@gmail.com

RESUMO

Intuitivamente, uma superfície topológica Ω é um conjunto de pontos no espaço euclidiano tridimensional, R^3 , na qual toda vizinhança de um ponto $P \in \Omega$ é semelhante a um plano. Por exemplo, a esfera S e o toro T são exemplos de superfícies. Diz-se que um grafo G está mergulhado em Ω , $G \hookrightarrow \Omega$, quando os seus lados atendem as duas condições de interseção: lados distintos nunca se interceptam e só se interceptam em vértices.

Em 1963, W. Gustin [2] introduziu o método do grafo corrente na solução do Problema do Mapa Colorido [3], o qual consiste em obter o esquema do mergulho mínimo do grafo completo K_n , através de sua rotação, munido de uma Lei Corrente de Kirchhoff com elementos distintos do grupo aditivo $Z_m \setminus \{0\}$. Usando este método, foi introduzido um esquema gráfico, chamado de engrenagens de vértices (veja Figura 1), que permite identificar $K_n \hookrightarrow \Omega$ conhecida a sua rotação, quer este seja mínimo ou não. Ao analisar este processo, verificou-se que as identificações podem ser realizadas através de um algoritmo estruturado. O objetivo é desenvolver, a partir de uma rotação de K_n , um algoritmo que determine o conjunto de seqüências orbitais, o tipo de partição e o gênero da superfície orientada na qual K_n está mergulhado [1].

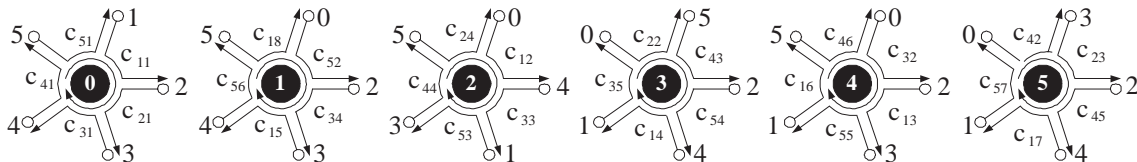


Figura 1: O esquema de engrenagens dos vértices de K_6 no mergulho $K_6 \hookrightarrow 3T$, com rotações $\Theta = \{0(1, 2, 3, 4, 5), 1(0, 2, 3, 4, 5), 2(0, 4, 1, 3, 5), 3(5, 2, 4, 1, 0), 4(0, 2, 3, 1, 5), 5(0, 3, 2, 4, 1)\}$, seqüências orbitais $c_1 = (0, 2, 4, 3, 1, 4, 5, 1), c_2 = (0, 3, 5, 2), c_3 = (0, 4, 2, 1, 3), c_4 = (0, 5, 3, 2, 5, 4)$ e $c_5 = (0, 1, 2, 3, 4, 1, 5)$ e partição $R_4R_5R_6R_7R_8$

Algoritmo 1 Seja $\Theta = \{0(a_{01}, a_{02}, \dots, a_{0(n-1)}), \dots, n-1(a_{(n-1)1}, a_{(n-1)2}, \dots, a_{(n-1)(n-1)})\}$ o sistema de rotação de K_n . A seqüência orbital de comprimento k , $c_1 = (c_{11}, c_{12}, \dots, c_{1k})$, do mergulho $K_n \hookrightarrow \Omega$ é dada por: $c_{11} = a_{01}$, $c_{12} = 0$, c_{13} é sucessor do 0 na rotação do vértice a_{01} , o elemento genérico c_{1j} é o sucessor de $c_{1(j-2)}$ na rotação do vértice $c_{1(j-1)}$, e o último elemento c_{1k} , é tal que $(c_{1(k-1)}, c_{1k}) \neq (c_{1i}, c_{1(i+1)})$ para todo $i \in \{1, 2, \dots, k\}$ e $c_{1(k+j)} = c_{1j}$, para todo $j \in \{k+1, k+2\}$. A seqüência orbital $c_2 = (c_{21}, c_{22}, \dots, c_{2k_2})$ é determinada de forma análoga a c_1 , de tal modo que (c_{21}, c_{22}) não está em c_1 . De modo análogo são determinados as demais seqüências orbitais do mergulho $K_n \hookrightarrow \Omega$.

*bolsista de Iniciação Científica PIBIC/CNPq

Através do Algoritmo 1 foram identificados todos os mergulho de K_n , $n = 3, 4, 5$, estes foram classificados em classes, cada uma formada por mergulhos com o mesmo tipo de partição: os mergulhos de K_4 encontram-se na esfera S e no toro T , sendo uma classe sobre S ($4R_3$) e duas em T (R_3R_9 e R_4R_8). As classes dos mergulhos de K_5 têm a seguinte distribuição: 5 em S com 468 mergulhos, todos de 5 regiões; 15 em $2T$ (bitoro) com 4968 mergulhos, todos de 3 regiões e; uma classe sobre $3T$ (tritoro), sendo esta com 2340 mergulhos, todos de uma região. Ao todo foram identificados 7776 mergulhos distintos, o total dos mergulhos existentes em K_5 .

O Algoritmo 1 é aplicável a todo grafo K_n , e é facilmente adaptável para outro tipo de grafo. No caso do K_6 , o algoritmo foi testado e se mostrou eficiente exibindo corretamente todos os casos solicitados.

Palavras-chave: *Mergulho de grafo, grafo corrente, superfícies orientadas.*

Referências

- [1] J.D. Lima, R. Palazzo Jr., Projetos de modulações sobre superfícies via sistema integrado de transmissão de dados, *TEMA. Tendências em Matemática Aplicada e Computacional*, 3 (2008) 405-416.
- [2] W. Gustin, Orientable embedding of Cayley graphs, *Bull. Amer. Math. Soc.*, 69 (1963) 272-275.
- [3] G.Hingel, J.W.T Young, Solutions of the Weawood map-coloring, *Proc. Nat. Acad. Sci. U.S.A.*, 60 (1968) 433-445.